

山腹崩壊土の運動機構に関する研究

京都大学防災研究所

正員 芦田 和男

京都大学防災研究所

正員 江頭 進治

新日本技術コンサルタント 正員 ○大槻 英樹

1. まえがき 山腹崩壊土の運動と流動化の機構を究明することは、水工学や防災科学のうえばかりではなく、社会的にみても極めて重要かつ緊急の課題である。本報においては、山腹崩壊土の挙動と斜面勾配、供給流量、崩壊土の土量・土質などによつてどのように変化するかを理論および実験の両面より検討を行う。

2. 崩壊土の挙動に関する理論的考察 斜面上における土

塊の運動を模式的に表すと、図-1のようである。土塊の移動速度 u_f が供給水の流速 u_1 より小さく、しかも土粒子の侵

食・堆積がない場合の質量保存則および運動量保存則はこれで

$$d(\beta A_f)/dt = \rho(u_1 - u_f)h_1 - \rho(u_2 - u_f)h_2 \quad \cdots (1)$$

$$d(\beta A_f + u_f)/dt = \beta A_f g \sin \theta - \{(\beta - \rho)(1-\lambda)A_f g \cos \theta\}h_1 - P_{f_1}l_1 u_f^2 + P\{(u_1 - u_f)^2 h_1 - (u_2 - u_f)^2 h_2\} + \frac{1}{2}Pg(h_1^2 - h_2^2) \quad \cdots (2)$$

となる。ここで μ_s は動摩擦係数、 λ は抵抗係数である。(1)式より、
 $h_2 = u_2 = 0$ のときすなわち、図-2に示す状態のとき土塊は最も滑動しやすくなる。このとき $d(\beta A_f + u_f)/dt \leq 0$ であれば土塊は停止状態を保つ。

この条件は、(2)式で μ_s を μ_s (静止摩擦係数) で置き換える。 $u_f = 0$ として 図-2 初期状態における
 次式で表される。

$$\frac{\alpha_1}{2}(1-\lambda_0)(1-\lambda_0)\left(\frac{F_1}{F_2}\right)^{\frac{2}{3}}\mu_s \geq \left\{ \frac{\alpha_1}{2}(1-\lambda_0+\lambda_0)h_1 + \alpha_2 h_2 \left(\frac{F_1}{F_2}\right)^{\frac{2}{3}} \right\} \tan \theta + \{h_2(F_1^2 + \frac{1}{2}) - d_2 h_2(F_1^2)^{\frac{2}{3}} f_{cb*}\} / \cos \theta \quad \cdots (3)$$

ここに、 $\alpha_1 = \Delta A(0)/h_1 l_1$ 、 $\alpha_2 = 2A_0/h_1^2$ 、 $F_1^2 = \frac{g^2}{g h_1^2}$ 、 $F_2^2 = \frac{u_1^2}{g h_1}$ 、 $f_{cb*} = P/f_{cb}$ 、 $f_{cb} = l_1/h_1$ 、 $f_{cb*} = C_b/P g h_1$ である。 C_b は土塊と斜面の界面における粘着力、 λ_0 は水の供給を受けた以前の土塊の間隙率である。(3)式において、 $f_{cb*} = 0$ 、 $\alpha_1 = 1$ 、 $\mu_s = 4.18$ 、 $\alpha_2 = 0.38$ 、 $\lambda_0 = 0.25$ としたとき、停止条件の θ は、 $\theta = 20^\circ \sim 23^\circ$ 程度になる。 λ_0 の変化幅は、供給水の作用によるものである。

簡単のため、 $u_f \frac{d}{dt}(\beta A_f) \ll \beta A_f \frac{du_f}{dt}$ 、 $h_2 = u_2 = 0$ とするとき(2)式はつきのように表される。

$$\frac{du_f}{dt} = a_1 u_f^2 - a_2 u_f + a_3 \quad \cdots (4)$$

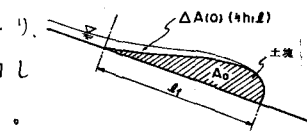
ここに、 $a_1 = \frac{f_{cb} - 1 - f_{cb} f_{cb*}}{f_{cb} h_1}$ 、 $a_2 = 2 \frac{f_{cb} u_1}{f_{cb} h_1}$ 、 $a_3 = g(X + \frac{f_{cb}}{f_{cb} h_1} F_1^2 + \frac{1}{2} \frac{f_{cb}}{f_{cb} h_1})$ 、 $f_{cb} = P/p_f$ 、 $f_{cb*} = P_s/p_f$ 、 $X = \cos \theta \times \{\tan \theta - (1-\lambda)(f_{cb*} - f_{cb})\mu_s\}$ である。土塊の移動速度 $u_f(t)$ やび移動距離 $x_f(t)$ は、(4)式により解析的に求められ、 $D \equiv a_2^2 - 4a_1 a_3 > 0$ のときの解を示すとつきのようである。

$$u_f(t) = A_1 \frac{e^{-\sqrt{D}t} - 1}{e^{-\sqrt{D}t} - A_2} \quad \cdots (5) \quad x_f(t) = \frac{A_2 - A_1}{\sqrt{D}} l_1 \left\{ \frac{e^{-\sqrt{D}t} - A_1/A_2}{1 - A_1/A_2} \right\} + A_2 t \quad \cdots (6)$$

ここに、 $A_1 = \frac{u_1}{1 - f_{cb} f_{cb*}} \left[1 + \frac{1}{F_1} \left\{ \frac{f_{cb}}{f_{cb} h_1} (f_{cb} f_{cb*} - 1) (X + \frac{1}{2} \frac{f_{cb}}{f_{cb} h_1}) + f_{cb} f_{cb*} F_1^2 \right\}^{\frac{1}{2}} \right]$ 、 $A_2 = \frac{u_1}{1 - f_{cb} f_{cb*}} \left[1 - \frac{1}{F_1} \left\{ \frac{f_{cb}}{f_{cb} h_1} (f_{cb} f_{cb*} - 1) (X + \frac{1}{2} \frac{f_{cb}}{f_{cb} h_1}) + f_{cb} f_{cb*} F_1^2 \right\}^{\frac{1}{2}} \right]$ である。また、 $D = 4 \left(\frac{f_{cb}}{f_{cb} h_1} \right)^2 \left\{ \frac{f_{cb}}{f_{cb} h_1} (f_{cb} f_{cb*} - 1) (X + \frac{1}{2} \frac{f_{cb}}{f_{cb} h_1}) + f_{cb} f_{cb*} F_1^2 \right\}^2$ である。一方、 $u_f > u_1$ のときには、供給水と土塊との運動量の授受がなく、(2)式でこれを考慮するに次式を得る。

$$u_f(t) = \sqrt{B_2} \frac{1 + \frac{u_1 - \sqrt{B_2}}{u_1 + \sqrt{B_2}} e^{-2B_2 t/f_{cb}}} {1 - \frac{u_1 - \sqrt{B_2}}{u_1 + \sqrt{B_2}} e^{-2B_2 t/f_{cb}}} \quad \cdots (7) \quad x_f(t) = \frac{\sqrt{B_2}}{f_{cb}} (f_{cb}(t-t_1) - \ln \left\{ \frac{1 - \alpha_2 e^{B_2 t}}{1 + \alpha_2 e^{B_2 t}} \right\}^2) + x_f(t_1) \quad \cdots (8)$$

Kazuo ASHIDA, Shinji EGASHIRA, Hideki OHTSUKI

図-1 土塊の運動の模式図
および記号図-2 初期状態における
土塊の模式図

ここに、 $B_1 = \frac{u_1 h_1}{k_1 k_2 t_1}$, $B_2 = \frac{u_2 h_2}{k_2 k_1 t_2} X$, $\beta_1 = \frac{u_1 - \sqrt{B_2}}{u_1 + \sqrt{B_2}} e^{2B_2 \sqrt{B_2} t_1}$, $\beta_2 = -2B_2 \sqrt{B_2}$ である。ただし、 $u_f = u_1$ とする時刻である。

つぎに、土塊の流動化条件について考察する。土塊が流動化するためには、①流動化するための十分な水の供給があることおよび②土塊の内部構造が破壊されることが必要と思われる。まず水の供給条件として、土塊の土砂濃度が C_{sf} 以下になら、たとき流動化すると仮定すれば、この条件は次式で与えられる。

$$\{u_1 t - x_f(t)\}h_1 / A_0 \geq \frac{1 - \lambda_0}{C_{sf} l} - \left\{ 1 + \frac{\Delta A(0)}{A_0} \right\} \quad \text{--- (9)}$$

上式の左辺は $t = t_1$ で最大値をとる。このとき、上の条件はつきのように表される。

$$x_f(t_1) / h_1 \leq \alpha_1 \alpha_2 + \frac{\alpha_1}{2} \left(\frac{\lambda_0 + C_{sf} l - 1}{C_{sf} l} \right) \left(\frac{F_1}{F_f} \right)^{\frac{1}{3}} + \frac{\alpha_1}{4 k_1} F_2 \left(\frac{F_1}{F_f} \right)^{\frac{1}{3}} \frac{1}{Z} \ln \left\{ \frac{1 - Z}{1 + Z} \frac{\alpha_1 \alpha_2 (F_1 / F_f)^{\frac{1}{3}} + Z}{\alpha_1 \alpha_2 (F_1 / F_f)^{\frac{1}{3}} - Z} \right\} \quad \text{--- (10)}$$

ここに、 $Z = \frac{1}{F_1} \left(\frac{\alpha_1}{2 k_1} (F_1 / F_f)^{\frac{1}{3}} \{ \alpha_1 \alpha_2 (F_1 / F_f)^{\frac{1}{3}} - 1 \} \{ X + \frac{k_1}{\alpha_1} (F_1 / F_f)^{-\frac{2}{3}} \} + \alpha_2 \alpha_1 F_1^3 (F_1 / F_f)^{\frac{1}{3}} \right)^{\frac{1}{2}}$ である。また、土塊内部の破壊条件については、図-3に示すような微小要素を考え、せん断ひずみが ϵ になら、たとき内部構造が完全に破壊されるときと仮定し、そのエネルギーは境界摩擦によって供給されるものとする。さらに、このときの供給率を η とし、若干の演算を行なうとつきのような条件式を得る。

$$\frac{\eta}{\eta_0} \geq \frac{E}{\eta_0} \left\{ \frac{1}{3} \cos \left(\frac{\pi}{4} + \frac{\theta_1}{2} \right) + \frac{1}{\mu_0 (1 - \lambda_0) (1 - \lambda_1)} \tan \left(\cos \theta_1 \right) \right\} \quad \text{--- (11)}$$

3. 実験およびその結果の考察 実験は、幅10cm、深さ12.5cm、長さ6mの片面がラス張りの水路を用いて行われた。路床には砂かはり付けである。砂、粘土、水の混合物を路床上に図-4のように整形しておき、上流端より定常流量を給水すると同時に、土塊の移動速度や流動化するまでの流下距離などを計測された。実験条件は、粘土の含有率 μ_0 、流量 Q 、勾配 i を種々組み合わせて定められている。

図-5は、 η/η_0 に関する計算値と実験値を比較したものである。計算値は、(6), (8)式において $\mu_0 = 0.762 (= \mu_s)$, $\eta_0 = 0.12$ として求められている。図より、土塊が流動化するまでは、両者はかなりよく一致していることがわかる。

図-6は、流動化の条件に関して、(13)式と実験値を比較したものである。図中のデータの水の供給条件は満たされているものとみなしていい。また、 η/η_0 は、 $f_{sf} = 0$ の実験より求め、 $\eta_0 = 37.3$ とし、Cについては、 η が示すデータが理論式に一致するとして逆算によつて求めている。図より、理論は実験値の傾向をよく示していることがわかる。

4. あとがき 非侵食性斜面上における崩壊土の挙動について理論的・実験的考察を行い、土塊の滑動・停止条件、運動機構、滑動→流動化の条件などについて興味ある結果を得た。

今後、 η/η_0 の一般的な推定法に関する検討や、侵食性斜面上における同様の考察および斜面の崩壊機構について研究を進めようつもりである。

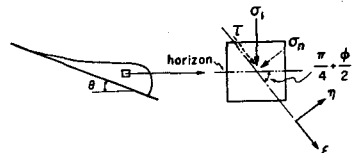


図-3 土塊の微小要素における応力状態

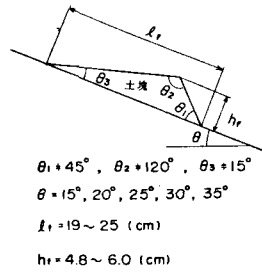


図-4 整形された土塊の模式図

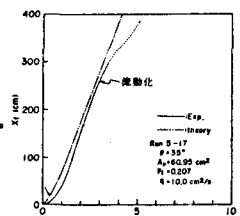


図-5 $x_f(t)$ の理論値および実験値

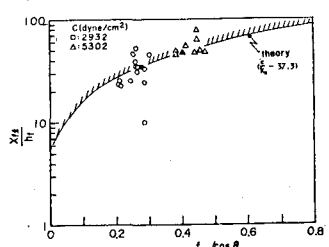


図-6 流動化の条件に関する理論値および実験値